

تأثیر کلرید جیوه بر رشد و نمو لوله عصبی ناحیه دیانسفال جنین موش صحرایی (Rat)

مصطفی طبیه رستگار^{*}, مهدی مهدیزاده^{**}, کاظم پریور^{***}, ملیحه نوبخت^{****} Ph.D., M.Sc.

* گروه علوم تشریح، دانشگاه علوم پزشکی ایران

** گروه زیست‌شناسی دانشگاه تربیت معلم تهران

**** تاریخ وصول: شهریور ماه ۸۲، تاریخ پذیرش: آذر ماه ۸۲

چکیده

هدف: بررسی آثار ترااتوژنیک کلرید جیوه بر رشد و نمو لوله عصبی ناحیه دیانسفال (تalamوس و هیپوتalamوس) در جنین موش صحرایی

مواد و روشها: تعداد ۳۶ سر موش صحرایی ماده از نژاد Sprague Dawley انتخاب و به شش گروه شش تایی تقسیم شدند. به سه گروه اول (گروههای شاهد) محلول نرمالین سالین و به سه گروه دوم (گروههای تجربی) ۲mg/kg کلرید جیوه به صورت داخل صفاقی در روزهای ۱۰، ۱۵ و ۱۵ به طور جداگانه تزریق شد و در نهایت جنینها در روز ۱۵ بارداری از رحم خارج شده و پس از ثبوت و انجام مراحل پاساز بافتی، برشهایی به ضخامت ۵ میکرون به طور سریال تهیه و با روش H&E رنگ آمیزی شده و مورد مطالعه میکروسکوپ نوری قرار گرفتند.

یافته‌ها: در نوروبلاست‌های ناحیه تalamوس و هیپوتalamوس در گروههای تجربی در مقایسه با گروه شاهد آرایش و نظم سلولی به هم خورده و هسته‌ها در جهات مختلف نسبت به لومن لوله عصبی قرار گرفته‌اند، تراکم سلولها کم شده و فضای خارج سلولی افزایش یافته است، مرگ و دژنراسیون سلولی به میزان فراوان مشاهده می‌شود.

نتیجه‌گیری: نتیجه کلرید جیوه در نوروبلاست‌های ناحیه تalamوس و هیپوتalamوس تأثیر گذاشته و سبب از بین رفتن تعداد زیادی از نوروبلاست‌ها شده است که این امر می‌تواند در رشد و نمو طبیعی لوله عصبی این ناحیه اختلال ایجاد کرده و در دوران بارداری یکی از عوامل ترااتوژن باشد.

واژه‌های کلیدی: کلرید جیوه، عامل ترااتوژنیک، دیانسفال، موش صحرایی

مقدمه

کننده‌های پوست و داروهای سنتی چینی کاربرد دارد [۲]. ارگان مورد هدف کلرید جیوه معمولاً دستگاه‌های ادراری تناسلی، تنفس، گوارش و همچنین اندامها و بافت‌های مختلف جنین است [۱ و ۳] که از طریق اتصال به گروه سولفیدریل پروتئین‌ها در بدن خاصیت سمی خود را اعمال می‌کند [۴]. مسمومیت مزمن با کلرید جیوه سبب لرزش (Thremour)، اختلالات حسی و حرکتی، آسیب به کلیه و نکروز توبرلر می‌شود [۱].

کلرید جیوه به صورت پودر سفید رنگ یا بی‌رنگ، کریستالین و سمی است که از طریق دستگاه گوارش و پوست جذب شده و از راه کلیه و ادرار دفع می‌شود. این ماده مصارف فراوانی در صنعت، پزشکی و... دارد از جمله به عنوان ضد عفونی کننده اشیاء بی‌جان، ضد انگل و ضد قارچ [۱]، در ترکیب مواد حاچب، داروهای مسهل و محافظ کننده‌ها و روش

آدرس مکاتبه: تهران، دانشگاه علوم پزشکی ایران، گروه علوم تشریح، صندوق پستی ۱۴۱۵۵-۶۱۸۳ Email:Trastegar2002@yahoo.com

پاساز بافتی و تهیه بلوک پارافینی، برشهایی به ضخامت ۵ میکرون تهیه و لامها به روش هماتوکسیلین - ائوزین رنگ آمیزی شده و سپس بهوسیله میکروسکوپ نوری آرایش سلولی ناحیه تالاموس و هیپوتالاموس مطالعه شد.

یافته‌ها

یافته‌های حاصل از مطالعات ماکروسکوپیک در گروههای شاهد و تجربی مقایسه و نتایج زیر بدست آمد: در گروه تجربی سه، ۱۹/۳ درصد جنبه‌ها جذب شدند و در سایر گروهها جذبی (Crown-Rupt) مشاهده نشد. ضمناً اندازه CR جنبه‌های (Crown-Rupt) گروههای شاهد و تجربی اختلاف معنی داری نداشت ولی وزن جنبه‌ها در گروههای تجربی نسبت به گروههای شاهد افزایش یافته و اختلاف معنی داری مشاهده شد ($P<0.1$).

در مطالعه میکروسکوپیک، در تالاموس و هیپوتالاموس گروه شاهد هسته‌ها منظم و عمود بر لومن میانی قرار گرفته و تقسیم میتوz مشاهده می شود (شکل‌های ۱ و ۳). ولی در گروههای تجربی هسته‌ها پراکنده و در جهات مختلف نسبت به لومن میانی قرار گرفته‌اند، همچنین به مواردی از مرگ سلولی می‌توان اشاره نمود.

تراکم سلولها کم شده (جدول ۲) فضای خارج سلولی افزایش یافته است. تقسیم میتوz به میزان فراوان مشاهده می شود. هسته‌ها پیکنوze و هیپرکروماتینه هستند (شکل‌های ۲ و ۴).

جدول ۲. میانگین و انحراف معیار شمارش سلولی در تالاموس و

هیپوتالاموس

(هیپوتالاموس) Mean±SD	(تالاموس) Mean±SD	گروهها
۲۰/۳۱±۰/۰۴*	۲۰/۶۱±۰/۳*	تجربی ۱
۲۰/۹۴±۰/۲*	۲۱/۴۳±۰/۱۷*	تجربی ۲
۲۲/۰۴±۰/۰۶*	۲۱/۶۷±۰/۱۲*	تجربی ۳
۳۲/۰۲±۰/۱۳	۳۲/۷۹±۰/۱۲	شاهد ۱
۳۱/۸۹±۰/۱۵	۳۲/۸۱±۰/۱	شاهد ۲
۳۱/۹۸±۰/۱	۳۲/۸۳±۰/۱۵	شاهد ۳

* $P<0.000$

در سال ۱۸۶۰ اختلال در رفتار و عاطفه، نقص در حافظه کوتاه مدت و اختلال حسی و حرکتی در کارگران کلاهدوز که برای ارتقای کیفیت کلاه از کلرید جیوه استفاده کرده بودند مشاهده شد [۳]. در سال ۱۹۵۷ در ماهیگیران ژاپنی و برخی از اعضای خانواده آنها علایمی شبیه به علایم فوق مشاهده شد که دریافتند از غذاهای دریایی است و در سال ۱۹۵۹ علت آن کلرید جیوه شناخته شد [۳]. کلرید جیوه سبب پلی نوروپاتی محیطی و از دست رفتن میلین آکسون عصب می شود [۵]. مشاهدهای صحرایی که در زمان جنینی در تماس مداوم با میزان کم کلرید جیوه بوده‌اند، در زمان بلوغ دچار علایم تشنج و صرع شدند [۶]. بنابراین در تحقیق حاضر با توجه به مطالعات فوق آثار کلرید جیوه را بر ساختار سلولی ناحیه تالاموس و هیپوتالاموس مورد بررسی قرار می‌گیرد تا مشاهده شود که آیا با توجه به علایم فوق، ساختار بافتی سلول در این نواحی تغییر می‌کند یا خیر؟

مواد و روشهای

تعداد ۳۶ سر موش صحرایی ماده از نژاد Sprague Dawley به صورت تصادفی انتخاب و پس از جفت‌گیری و مشاهده پلاک واژینال که روز صفر بارداری در نظر گرفته شد، تو زین و از هم جدا شدند. سن موشها بالای ۹۰ روز و وزن آنها بین ۲۷۰-۲۰۰ گرم بود. موشها به شش گروه شش تایی طبق جدول ۱ تقسیم شده و به گروههای شاهد، محلول نرمال سالین به گروههای تجربی، محلول کلرید جیوه تزریق شد.

جدول ۱. گروههای مورد بررسی

گروه	تعداد موش	روز تزریق	دوز تزریق	روز تزریق	تعداد جنبه‌ها	درصد جذب	تعداد جنبه‌ها	بررسی
تجربی ۱	۶	۸	۲mg/kg/Ip HgCl ₂	۱۵	۴۷	-		
تجربی ۲	۶	۹	۲mg/kg/Ip HgCl ₂	۱۵	۳۷	-		
تجربی ۳	۶	۱۰	۲mg/kg/Ip HgCl ₂	۱۵	۵۰	۱۹/۳		
شاهد ۱	۶	۸	نرمال سالین	۱۵	۳۹	-		
شاهد ۲	۶	۹	نرمال سالین	۱۵	۳۸	-		
شاهد ۳	۶	۱۰	نرمال سالین	۱۵	۳۹	-		

پس از خارج کردن جنبه‌ها در روز ۱۵ بارداری، جنبه‌ها مدت ۶-۲۴ ساعت در تثیت‌کننده قرار گرفته و پس از طی مراحل

بحث

رونده رشد و تمایز در لوله عصبی نسبت به مواد مختلف تأثیرپذیر بوده و گاهی مواد می‌توانند سبب آسیب مغزی یا سقط جنین شوند [۳].

ترکیبات جیوه در *in vitro* آپاتوژن هستند [۸و۷] و کلرید جیوه در روند مرگ سلولی، آپاتوز را القاء می‌کند و با افزایش غلط و زمان در معرض قرارگیری نسبت به آن، مخلوطی از سلولهای نکروتیک و آپاتوتیک مشاهده می‌شود [۹و۷]. آپاتوز نوعی مرگ سلولی است که از نظر مشخصات مرفوЛОژیکی و بیوشیمیایی از نکروز قابل تشخیص بوده و در روند رشد و نمو به میزان فراوان رخ می‌دهد [۱۰].

در سال ۱۹۹۸ Shenker و همکارانش در سلولهای نوع T انسان و لنفوسیت‌ها و مونوسیت‌ها مرگ سلولی ناشی از کلرید جیوه را مشاهد کردند [۸]. در این مطالعه نیز در ناحیه تalamوس و هیپوپotalamus جنین، مرگ سلولی به میزان فراوان در گروههای تجربی مشاهده شد که به دنبال آن تقسیم میتوز به عنوان یک مکانیسم جبرانی برای ایجاد تعادل در میزان سلولها افزایش یافته است. هسته‌ها حالت پیکنوze و هیپرکرومیتیه پیدا کرده‌اند. چنین تغییراتی در مطالعات افراد مختلفی که در سلولهای دیگر از جمله هپاتوسیت‌های موش صحرابی [۱۱]، سلولهای پروگریمال کلیه [۱۲] و ماکروفازهای کشت شده انسان [۱۳] سلولهای مختلف ایمنی [۱۴]، الیگودندروسیت‌های انسان [۱۵] و کورتکس شنوایی انسان [۱۶] انجام شده، اشاره شده است که خود نشان از نتایج به دست آمده یکسان است. بنابراین بدین ترتیب نتیجه گیری می‌شود که کلرید جیوه در

تقدیر و تشکر

نویسندهای بدبینوسيله مراتب تقدیر خود را از گروه علوم تشریح مرکز علوم پایه دانشکده پزشکی دانشگاه علوم پزشکی ایران که امکان انجام این تحقیق را فراهم نمودند، ابراز می‌دارند.

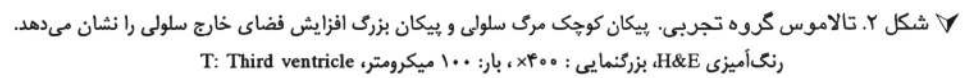
References

1. Reynolds JEF, Parfitt K, Parson SA. Martindale the extra pharmacopoeia. Williams & Wilkins Publisher, 1996; pp. 1725-1727
2. Federal Register. Food and Drug Administration. 1998; 63(239): 68775-777
۳. تیمبرل جان. مقدمه‌ای بر سمت‌شناسی. ترجمه کیهانفر فریرز، اطلاعات تهران، ۱۳۷۶؛ صفحات ۵۲-۱۰
۴. پژومند عبدالکریم، جلالی ناصر، اقدسی میرزا، ساداتیان سیدعلی اصغر. مسمومیت‌ها، نشر انتشارات. ۱۳۷۴، ۲۲۶-۲۲۲، صفحات
5. Deleu D, Hanssens Y, Salmy HS, Hastie I. Peripheral polyneuropathy due to chronic use of topical ammoniated mercury. *J Toxicol Clin Toxicol*. 1998; 36(3): 233-237
6. Szasz A, Barna B, Gajda Z, Galbacs G, Kirsch Volders M, Szente M. Effect of continuous low-dose exposure to organic and inorganic mercury during development on epileptogenicity in rats. *Neurotoxicology*. 2002; 23(2): 197-206

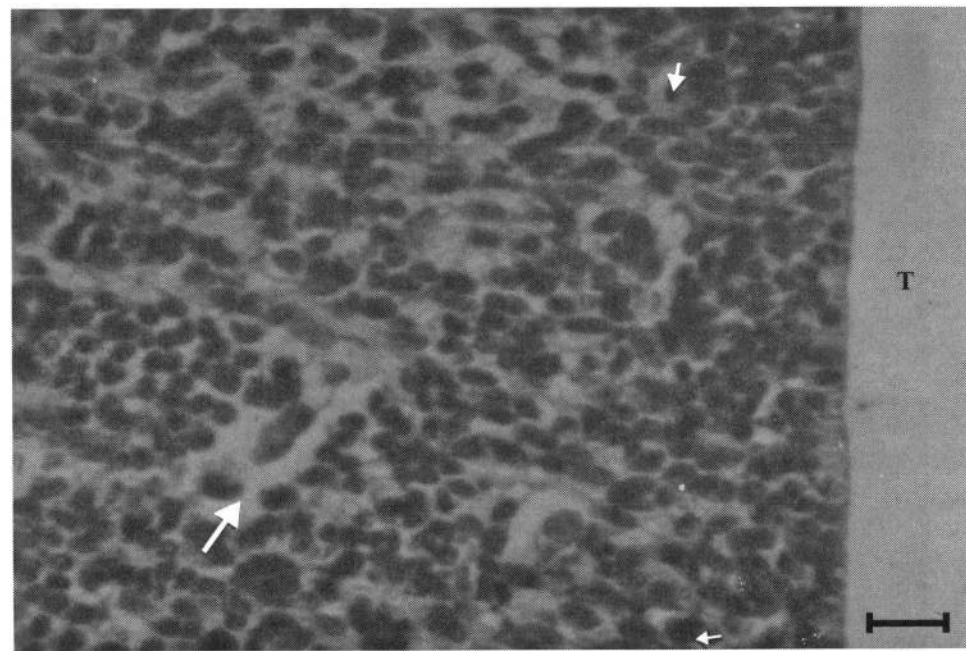
7. **Shenker BJ, Datar S, Mansfield K, Shapir IM.** Induction of apoptosis in human T-cell by organicmercuric compounds. A flow cytometric analysis. *Toxicol Appl Pharmacol.* 1997; 143: 397-406
8. **Shenker BJ, Guo TL, Shapiro IM.** Low-level methylmercury exposure causes human T-cells to undergo apoptosis: Evidence of mitochondrial dysfunction. *Environ Res.* 1998; 77: 149-159
9. **Duncan-Ac, KB, Jones JT, Burke MF, Carter DE, Laird ME.** Inorganic mercury chloride-induced apoptosis in the cultured porcine renal cell line. *J Pharmacol Exp Ther.* 1996; 277: 1726-1732
10. **Kerr JF, Wyllie AH, Currie AR.** Apoptosis: A basic biological phenomenon with wide ranging implications in tissue kinetics. *Br J Cancer.* 1972; 26: 239-257
11. **Nieminan AL, Gores GJ, Dawson TL, Herman B, Lemasters JJ.** Toxic injury from mercuric chloride in rat hepatocytes. *J Biol Chem.* 1990; 265(4): 2399-2408
12. **Peter LG, Delma T, Jenifer R, Anne D.** Mercuric chloride-induced apoptosis is dependent on protein synthesis. *Toxicol Lett.* 1999; 105: 183-195
13. **Corcoran GB, Ray SD.** The role of the nucleus and other compartments in toxic cell death produced by alkylating hepatotoxicants. *Toxicol Appl Pharmacol.* 1992; 113: 167-183
14. **Arargi S, Kondoh M, Kawase M, Satio S, Higashimoto M, Sato M.** Mercuric chloride induces apoptosis via a mitochondrial-dependent pathway in human leukemia cells. *Toxicology.* 2003; 184(1): 1-9
15. **Issa Y, Waths DC, Duxbury AJ, Brunton PA, Watson MB, Waters CM.** Mercuric chloride: Toxicity and apoptosis in a human oligodendroglial cell line M03.13. *Biomaterials.* 2003; 24(6): 981-7
16. **Gopal KV.** Neurotoxic effects of mercury on auditory cortex networks growing on microelectrode arrays: a preliminary analysis. *Neurotoxicol teratol.* 2003; 25(1): 69-76
17. **Setton-Avruj CP.** Is the increase in renal papillary phospholipid biosynthesis a protective mechanism against injury? *Renal Failur.* 1996; 19(1): 38-45
18. **Bret L, Lule J, Alary C, Appolinaire-Pilipenko S, Pourrat JP, Fourine GJ.** Quantitation of blood plasma DNA as an index of in vivo cytotoxicity. *Toxicology.* 1990; 61(3): 283-292
19. **Bret L, Lule J, Pourrat JP, Fourine GJ.** Extracellular DNA in blood and urine as a potential marker for cytotoxicity and nephrotoxicity in the mouse. *Renal Fail.* 1990; 12(3): 133-139
20. **Duvall E, Myvie AH.** Death and cell. *Immunol Today.* 1986; 7: 115-116
21. **Fourine GJ, Gayral M, Bouche JP, Conte JJ.** Recovery of nanogram quantities of DNA from plasma and quantitative measurement using labelling by nick translation. *Anal Biochem.* 1986; 158: 250-52
22. **Pu M, Akhand AA, Kato M, Koike T, Hamaguchi M, Suzuki H, Nakashima I.** Mercuric chloride mediates a protein sulphydryl modification-based pathway of signal transduction for activation src kinase which is independent of the phosphorylation/ dephosphorylation of a carboxyl terminal tyrosine. *J Cell Biochem.* 1996; 63: 104-114

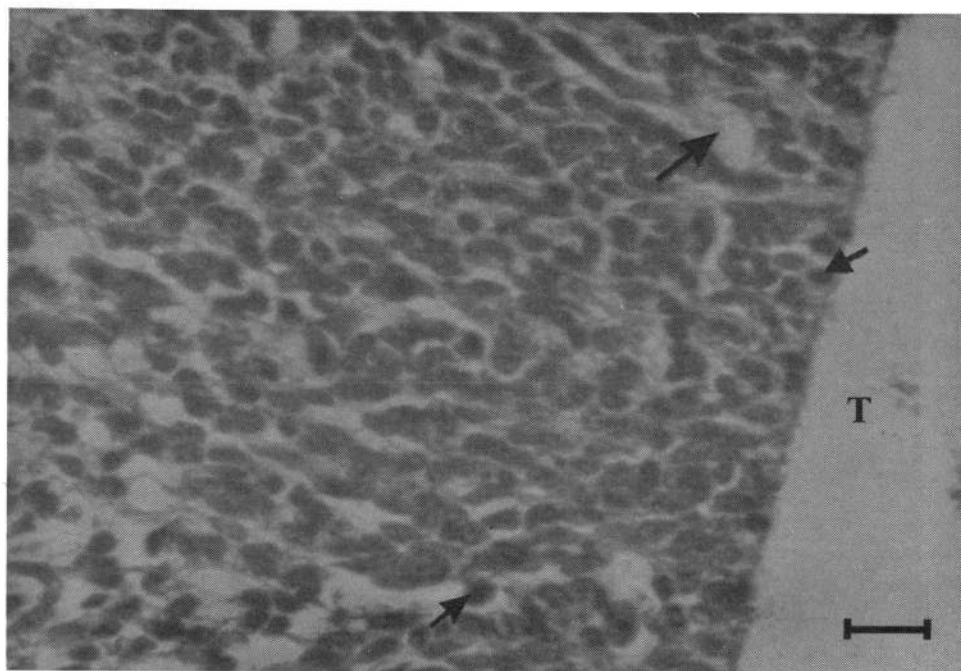


شکل ۱. تالاموس گروه شاهد. پیکان تقسیم میتوز را نشان می‌دهد. رنگ‌آمیزی: H&E، بزرگنمایی: $\times 400$ ، بار، ۱۰۰ میکرومتر
T: Third ventricle



شکل ۲. تالاموس گروه تجربی. پیکان کوچک مرگ سلولی و پیکان بزرگ افزایش فضای خارج سلولی را نشان می‌دهد.
رنگ‌آمیزی: H&E، بزرگنمایی: $\times 400$ ، بار؛ ۱۰۰ میکرومتر، T: Third ventricle





◀ شکل ۲. هیپوتالاموس گروه شاهد. پیکان تقسیم میتوز را نشان می‌دهد. رنگ‌آمیزی: H&E، بزرگنمایی: $\times 400$ بار؛ ۱۰۰ میکرومتر، T: Third ventricle

◀ شکل ۳. هیپوتالاموس گروه تجربی. پیکان کوچک مرگ سلولی، پیکان بزرگ افزایش فضای خارج سلولی را نشان می‌دهد. رنگ‌آمیزی: H&E، بزرگنمایی: $\times 400$ بار؛ ۱۰۰ میکرومتر، T: Third ventricle

